



INTERNATIONAL ATOMIC ENERGY AGENCY
UNITED NATIONS EDUCATIONAL, SCIENTIFIC AND CULTURAL ORGANIZATION



INTERNATIONAL CENTRE FOR THEORETICAL PHYSICS
34100 TRIESTE (ITALY) - P.O.B. 500 - MIRAMARE - STRADA COSTIERA 11 - TELEPHONES: 224281/2 3 4 5 6
CABLE: CENTRATON - TELEX 460392-1

SMR/112 - 10

IV^e SEMINAIRE SUR L'ENERGIE SOLAIRE

(10 - 21 septembre 1984)

PRODUCTIVITE D'UN COUVERT VEGETAL
- POTENTIALITES
- RÔLE DES FACTEURS DU MILIEU

G. GROSSE
Station de Bioclimatologie
I.N.R.A.
Route de St. Cyr
78000 Versailles
France

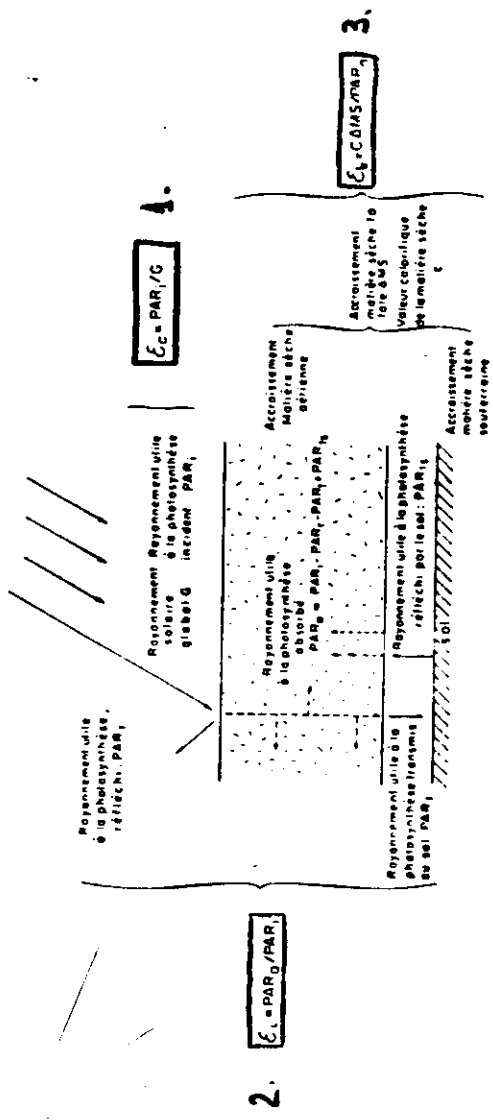
Productivité d'un couvert végétal
- Potentialités
- Rôle des facteurs du milieu.

GROSSE G.
station de Bioclimatologie
I.N.R.A. Versailles (France).

-1-

$$\Sigma(\nu) = \varepsilon_c(\nu) \times \varepsilon_i(\nu) \times \varepsilon_b(\nu) \times \varepsilon_p(\nu)$$

Prod. primaire = $\int_{\text{d}\nu} R_s(\nu) \cdot \varepsilon(\nu) d\nu$ avec $\varepsilon_p(\nu) = 1$



- 2 -

Figure 1 : Schéma montrant les mesures nécessaires aux calculs du rendement énergétique et de ses composantes. D'après [2]

Rayonnement utile à la photosynthèse PAR

- Définition de Mac-Cree

Notion de spectre d'action

Les mesures effectuées sur 22 espèces montrent

- PAR = 400 - 700 nm
- Spectre d'action f (longueur d'onde)

- Choix de l'unité

- Besoin d'une valeur intégrée
- Expression en unité photonique en unité énergétique

- Pas de configuration idéale

L'expression la plus satisfaisante est celle d'une densité de flux de photons dans la gamme 400 - 700 nm

- Mesure = Capteur Li-Cor

- 3 -

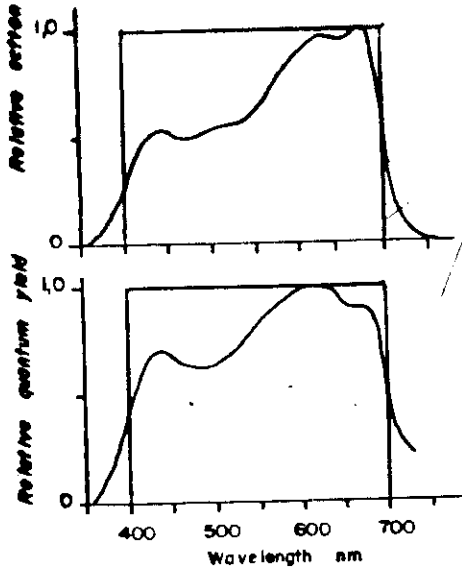


Figure 2 : Spectre d'action moyen de feuilles exprimé en terme d'énergie et de nombre de photons. D'après [3]

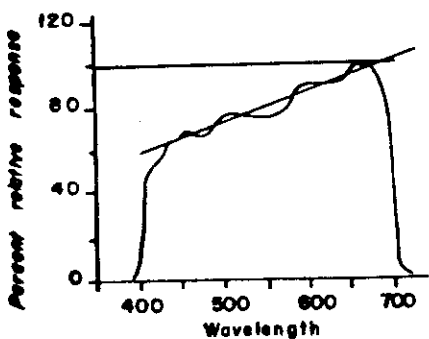


Figure 3 : Réponse spectrale du capteur LI-COR. D'après [4]

Sources de variation du PAR

- en conditions naturelles
 - f (rapport Diffus/Global)
 - . longueur du trajet optique
 - . composition de l'atmosphère
(ennuagement et trouble)

Résultats

$$Ec = PAR/G = 0.48 \text{ (PAR et G en } W/m^2)$$

$$Ec = 2 \text{ (PAR en } \mu E/m^2/s \text{ et G en } W/m^2)$$

Conclusion en conditions naturelles la mesure énergétique = mesure photonique
Exemple de déviation cas de l'harmattan

- en conditions artificielles
 - Spectre de lampes très variable
 - Nécessite d'une mesure photonique

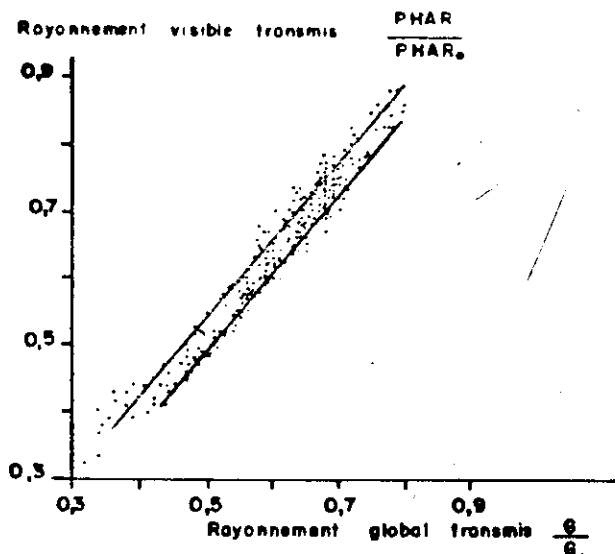


Figure 5 : Relation entre la transmission de la fraction PHAR et celle du rayonnement global correspondant pour l'ensemble des journées étudiées. D'après [6].

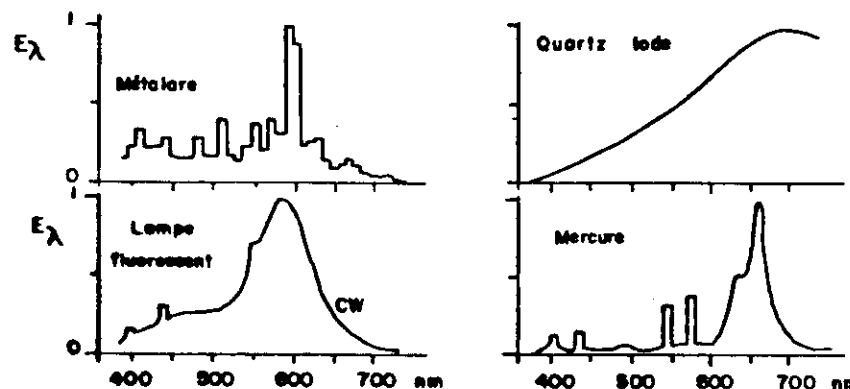


Figure 6 : Réponse spectrale des lampes utilisées en expérimentation. D'après [3].

L'efficience d'interception est fonction

1 - des caractéristiques du rayonnement incident

- rapport Diffus / Global
- hauteur du soleil

2 - de l'agencement spatial des feuilles

- inclinaison

3 - de la surface de feuilles développée par la culture

- indice foliaire IF

4 - des propriétés intrinseqües du capteur feuille

- réflexion et transmission

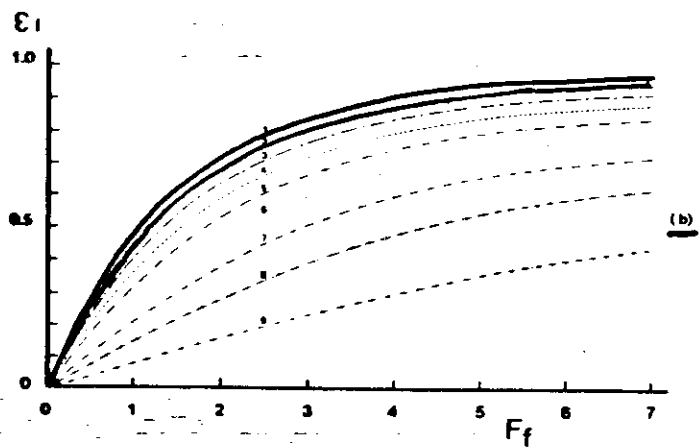
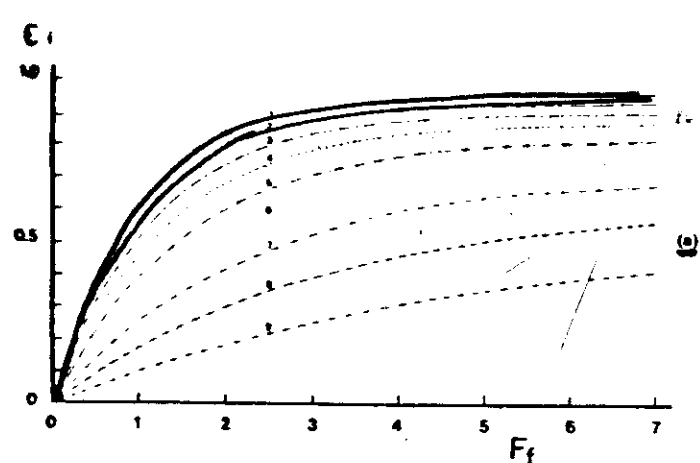
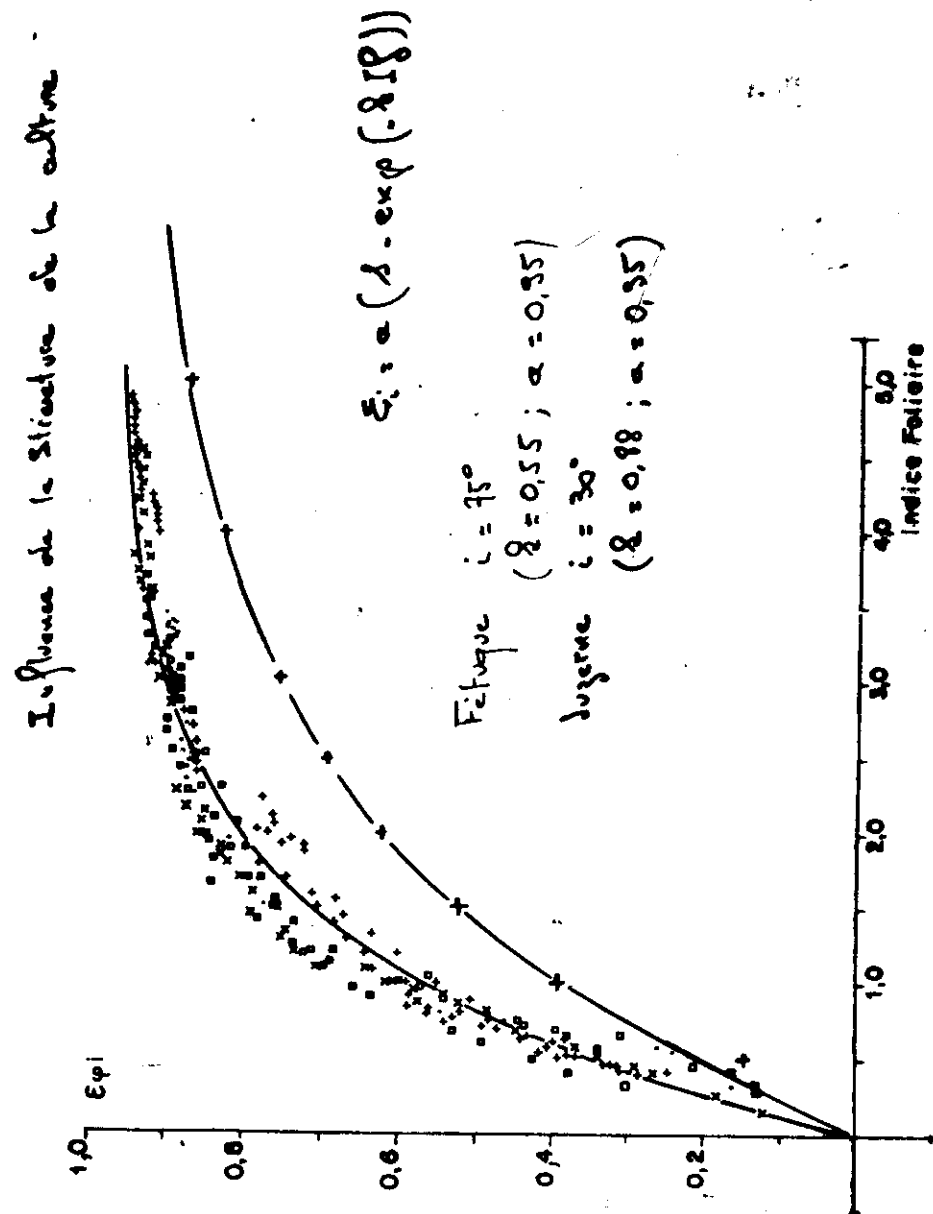


Figure 52 : Variations des valeurs journalières théoriques de ϵ_i en fonction de l'indice foliaire F_f pour différentes valeurs de la réflectance des feuilles ($R_{vis} = T_f$) et pour des inclinaisons moyennes des feuilles de 0° (a) et 65° (b)

Courbe 1	$R_{vis} = 0,05$	Courbe 6	$R_{vis} = 0,30$
2	0,10	7	0,35
3	0,15	8	0,40
4	0,20	9	0,45
5	0,25		

d'après R. Boukoume
et C. Verlet-Granchet.



les Rogées.

- Type loi de Beer

$$I = I_0 e^{-\frac{d}{L}}$$

- Type Gudelka - Roule

Direct + Diffus + Recoufflé par la végétation.

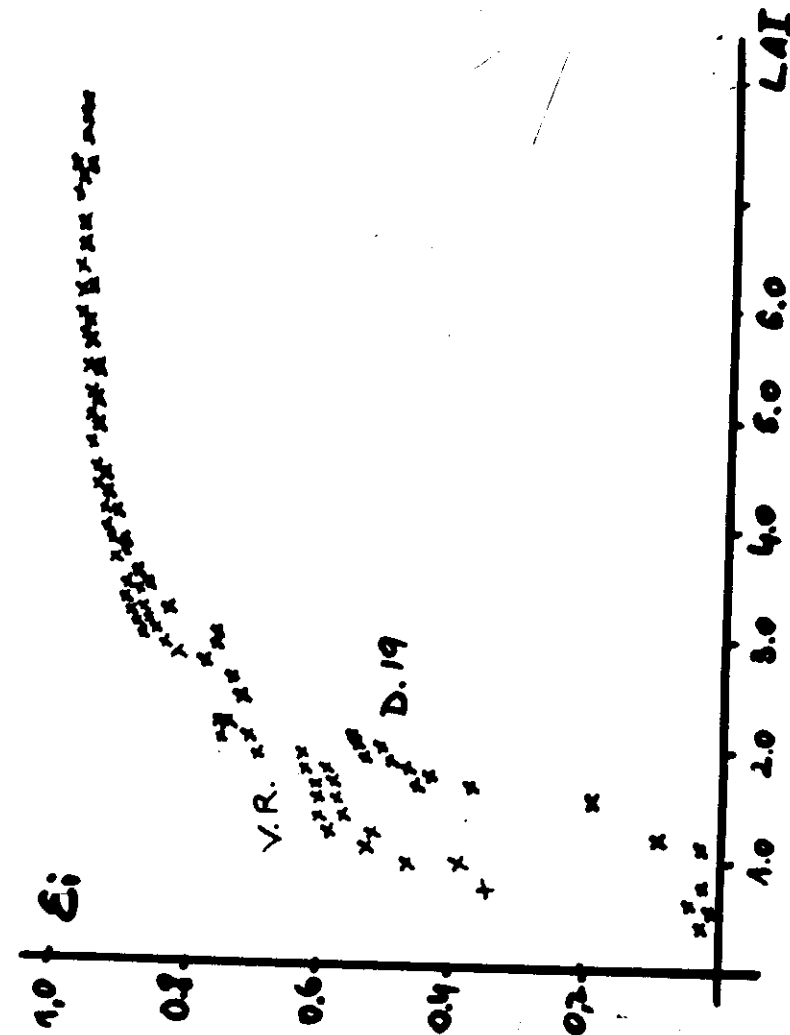
- Type statistique

$$\epsilon_i = \alpha (1 - e^{-\frac{d}{L}})$$

$$0,52 < \frac{d}{L} < 0,88$$

$i = 30^\circ$ $i = 20^\circ$

α coefficient de réflexion de la culture $\alpha \approx 0.05$



Conclusions:

1. Limites

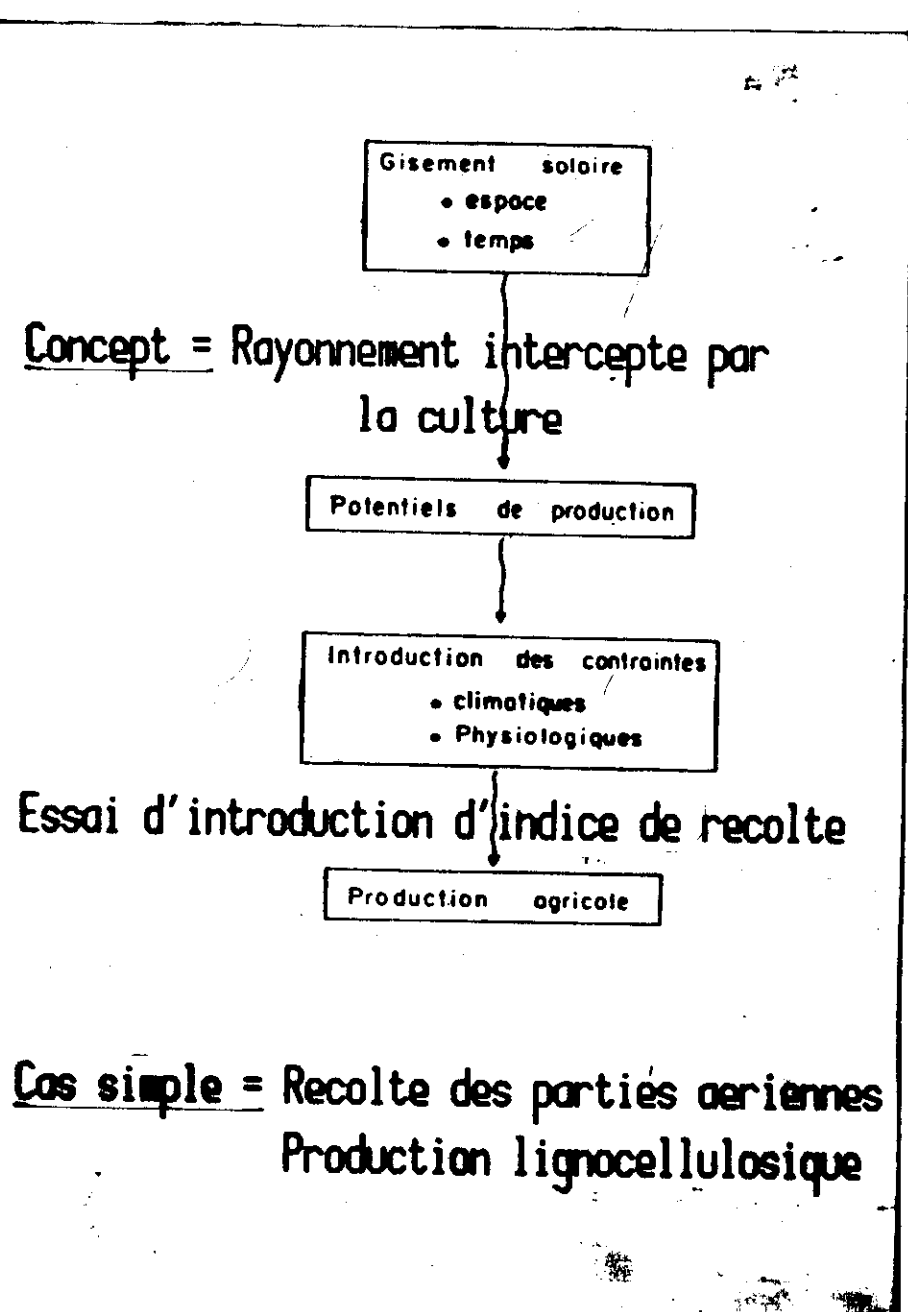
- Radiat. pas uniforme homogène
- Cas des couverts anisotropes
- Cas des couverts en phase installation

2. Paramètres importants:

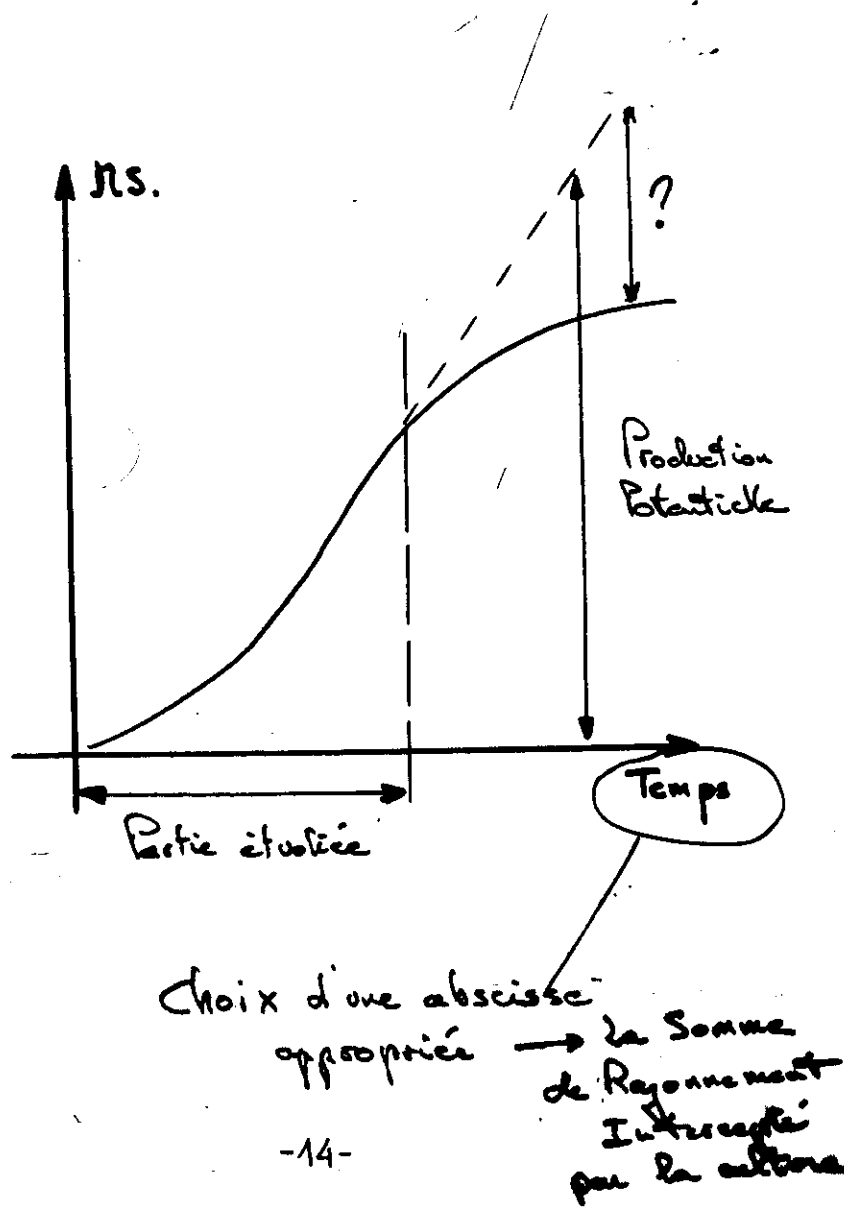
- Géométrie du couvert
- Dynamique d'installation de la surface culturelle avant saturation.
- Notion de LAD.

3. Paramètre maîtrisé ou peu maîtrisé

→ les études fondamentales ne sont plus à ce niveau...

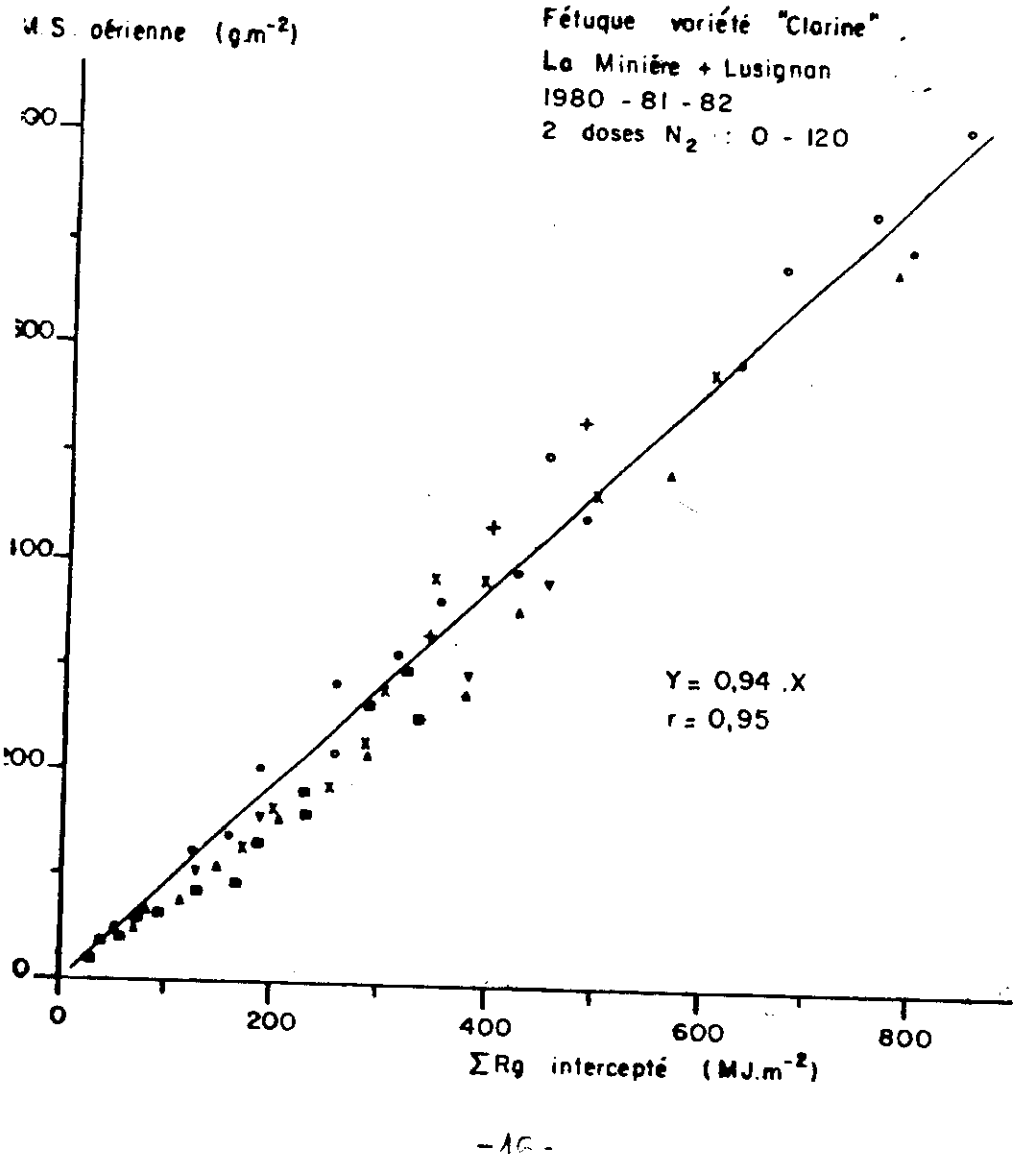


facteurs H_2O , N_2 et autres éléments minéraux non limitants.



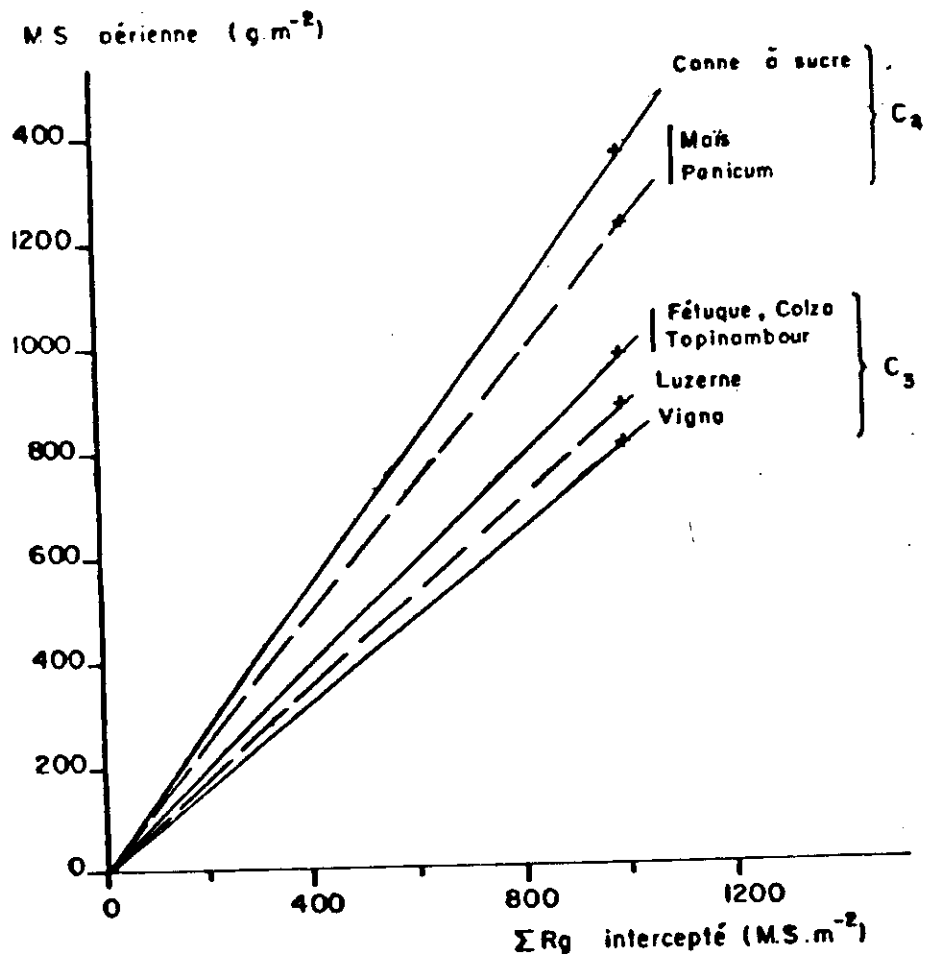
Paramètres intervenant sur l'axe
"Somme de Rayonnement intercepté"

- 1 - des facteurs climatiques
 - le rayonnement PAR
- 2 - la structure de la végétation
 - l'efficience d'interception
- 3 - la durée de végétation
- 4 - la vitesse de mise en place de la surface foliaire
- 5 - la vitesse de senescence des organes photosynthétiques

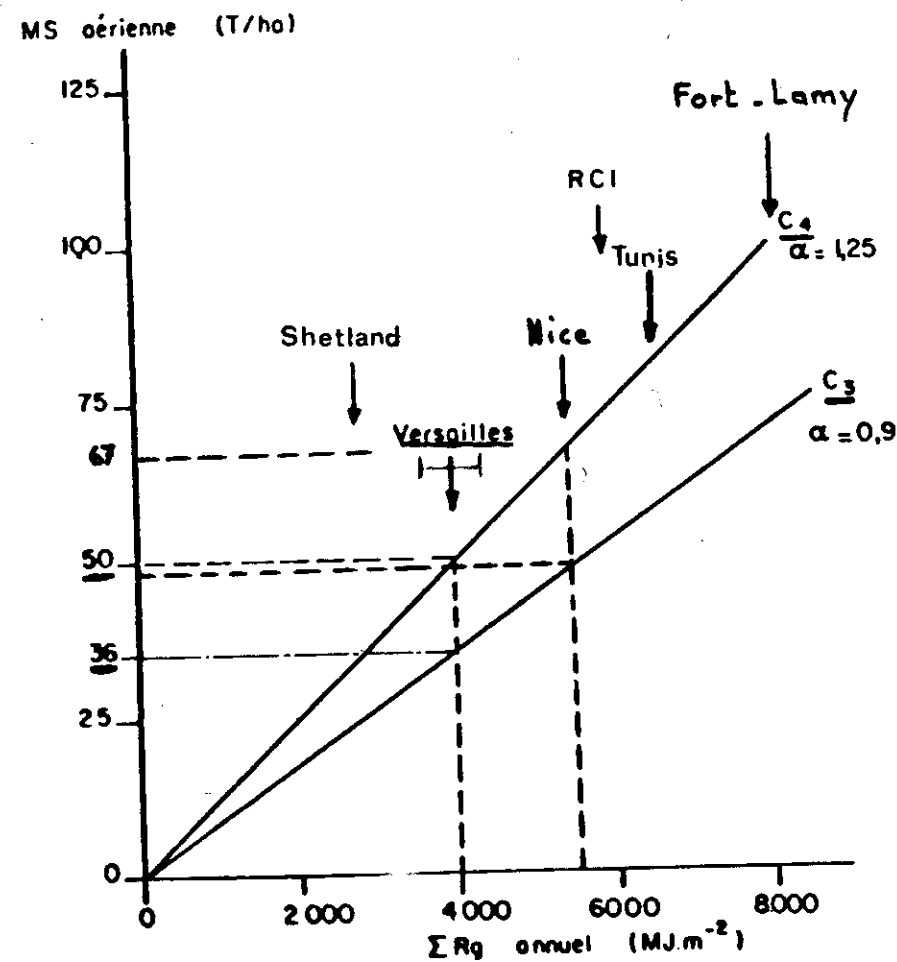


MS = Somme de Rayonnement Intercepte

- + **Luzerne** 5 ans (4 repousses par an)
2 sites (Versailles - Lusignan)
- + **Fetuque** 3 ans 2 doses d'azote
2 sites (Versailles - Lusignan)
- + **Panicum** 7 repousses en Côte d'Ivoire
- + **Vigna sinensis** 3 densites (Guadeloupe)
- + **Topinambour** 2 varietes et 2 sites
- + **Canne à sucre** 2ans - 4 varietes
1 site (Guadeloupe)
- + **Mais** 1 an - 3 varietes - 1 site (Mons)
2 ans - 1 variete sur La Miniere
- + **Feverolle** 1 an - 1 variete - 1 site
- + **Roseau** 2 ans - 1 site (Gambaiseuil)
- + **Ble** 1 an - 5 varietes - 1 site (Mons)
- + **Colza** 3 ans - 2 lieux - n traitements

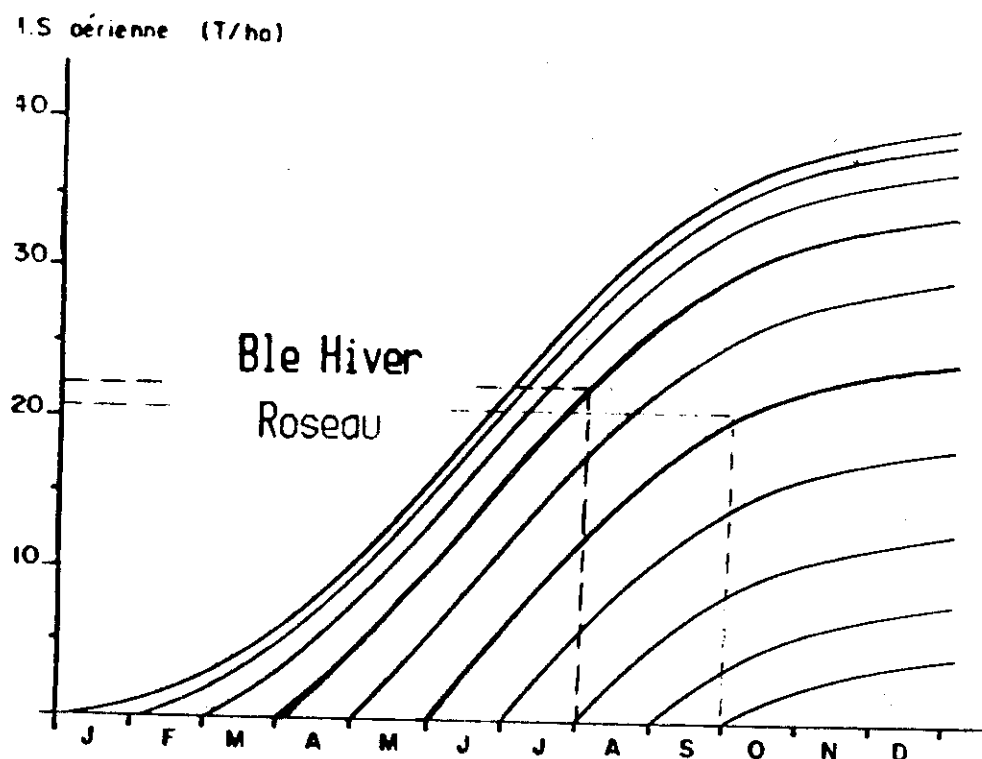


- 18 -



- 19 -

Effet de - la date d'implantation
 - la durée de végétation

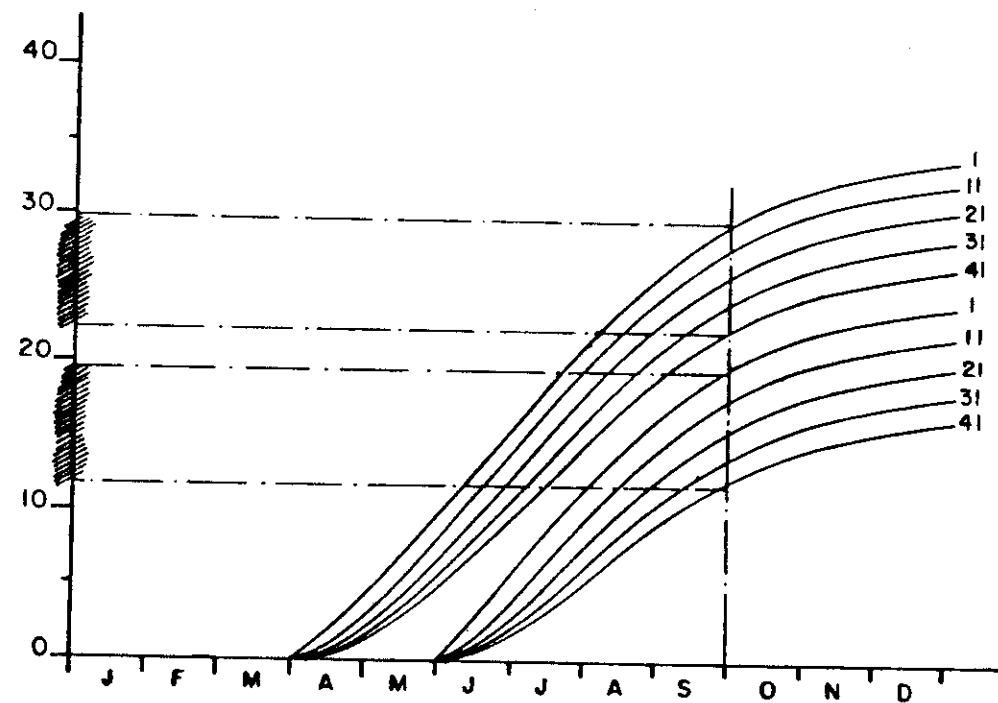


Hyp=Normale de rayonnement de Versailles
 Plante de type C3
 Efficience d'interception égale à 1

Effet de la vitesse de mise en place
 de la surface foliaire

Courbe 1 $Ei=0.9$ en 2 jours

M.S. aérienne (T/ha)
 11 en 29 j; 21 en 54 j; 31 en 80 j; 41 en 131 j



Hyp= Normale de rayonnement de Versailles
 Plantes de type C3
 2 dates d'implantation

Conclusions - Applications.

- En conditions optimales, pour des applications agronomiques :
 - la photosynthèse n'est pas prioritaire
 - importance
 - 1. de la densité de végétation
 - 2. de la cintique d'évaporation
 - 3. de la période de végétation

Consequences :

- . mise en point de modèles d'établissement de la surface foliaire ex houblon

$$IS = \Sigma \Theta$$

$$\rightarrow \text{Rôle de l'}\text{N}_2.$$
- . Possibilité de caractériser simplement le potentiel climatique d'un lieu.

Signification de la partie d.

Pour une biomasse ligneo-cellulosique (plus capacité calorifique)

$$\alpha = f(\epsilon_b \times \epsilon_p)$$

$$\cdot \epsilon_b = f(\text{Photosynthèse + Respiration}) \text{ de la culture}$$

$$\cdot \epsilon_p = f(\text{Repartition des assimilats}) \text{ entre P. aériens et P. souterr.}$$

* Photosynthèse Culture

$$f_{CO_2} = \sum f_{CO_2} \text{ de l'élément de feuille}$$

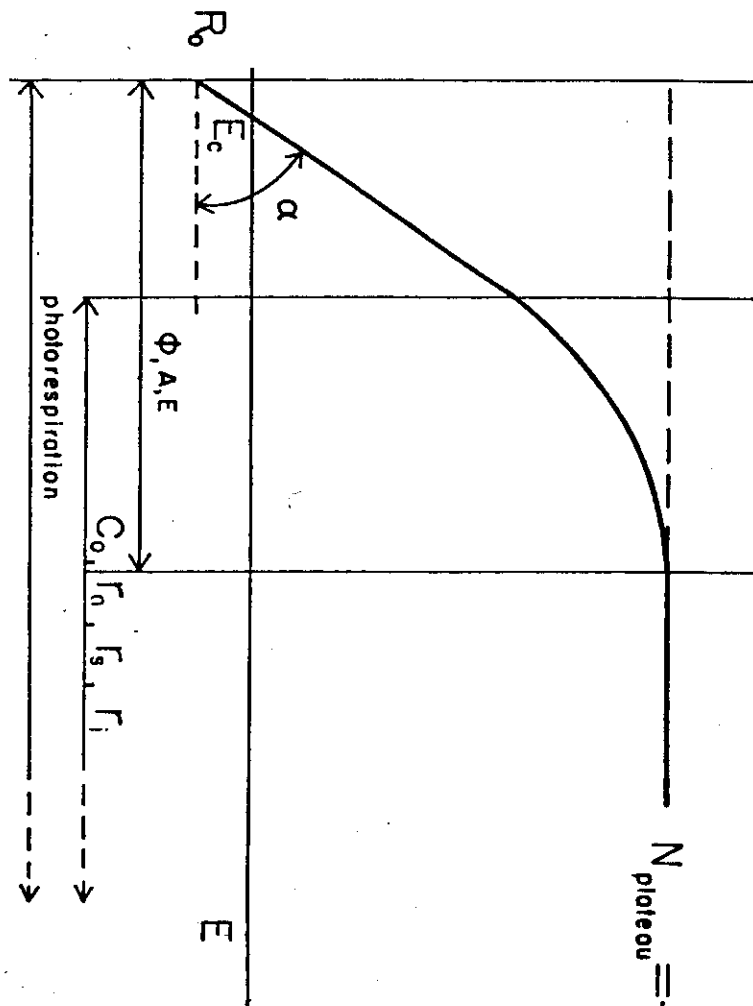
3 R_a:

- résistance intrinsèque
- Ressources et obstacles d'intégration
- Sensibilité de la culture à des Δ de la réponse intrinsèque du captant.

* Respiration

Schéma Roc Cere

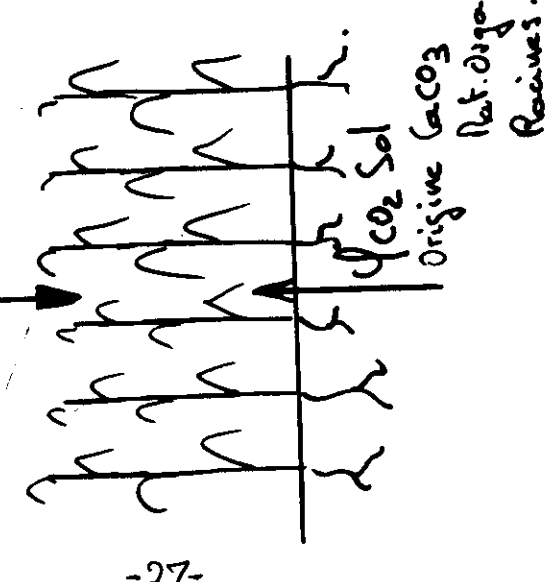
$$R = \underbrace{a(\Theta) \cdot R_S}_{R \text{ maintenance}} + \underbrace{b f_{CO_2}}_{R \text{ croissance.}}$$



$$N_{\text{plateau}} = \frac{C_0 - \Gamma}{r_0 + r_s + r_i}$$

$$\text{bilan } \text{CO}_2 = \Sigma \phi_{\text{sol}} + \phi_{\text{atm.}}$$

[1] 2%



-27-

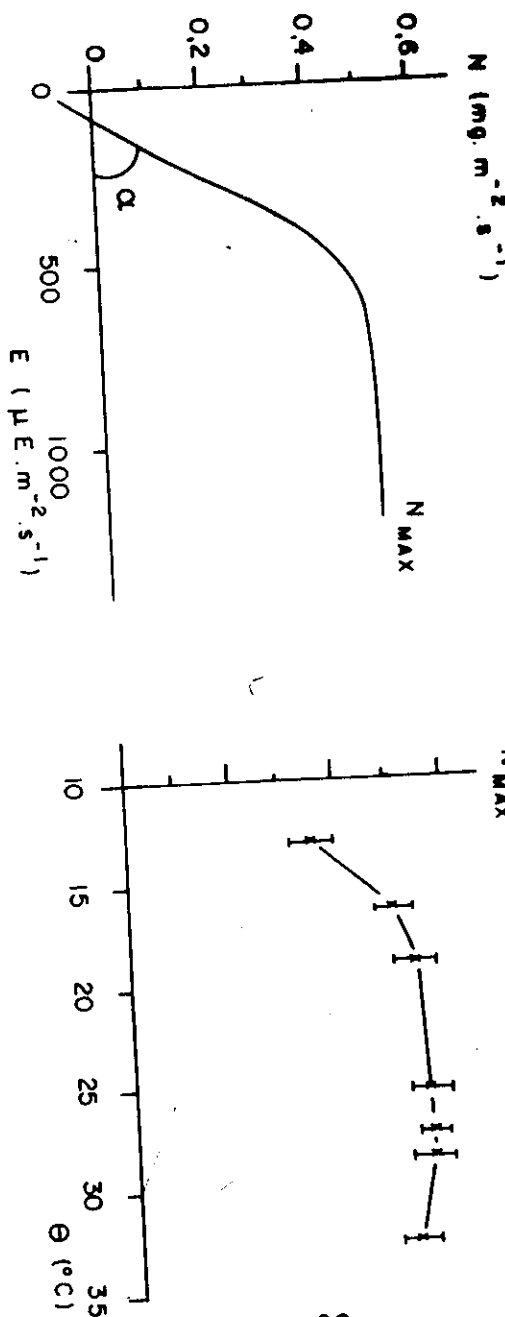
$\phi_{\text{CO}_2 \text{ atmosphérique}}$

Wane []

γγγ

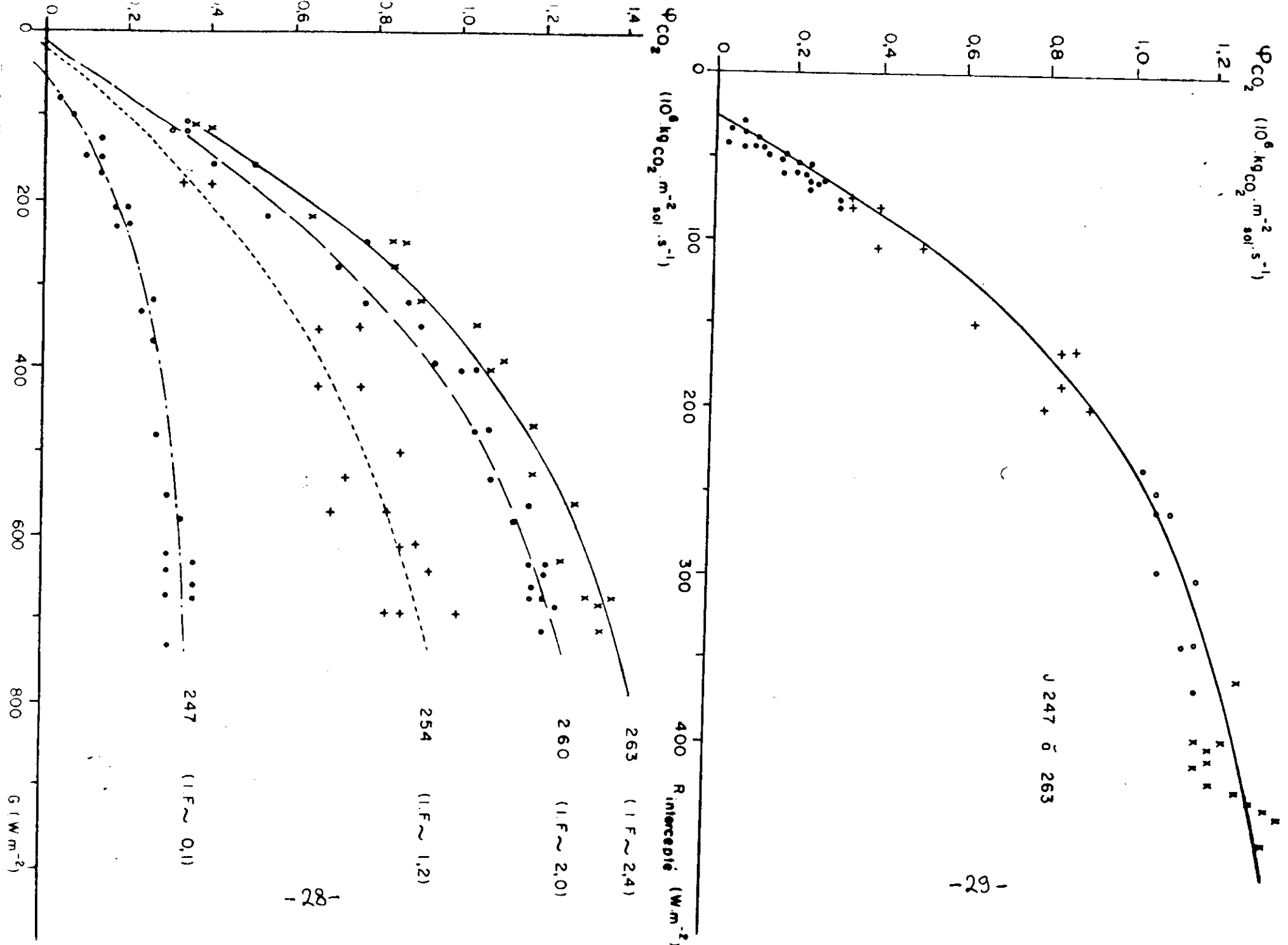
βββ

L
T₁, f



-26-

Figure 11 : Action de la température sur la photosynthèse d'une feuille de luzerne.
D'après [?].



-28-

J 247 & 263

-29-

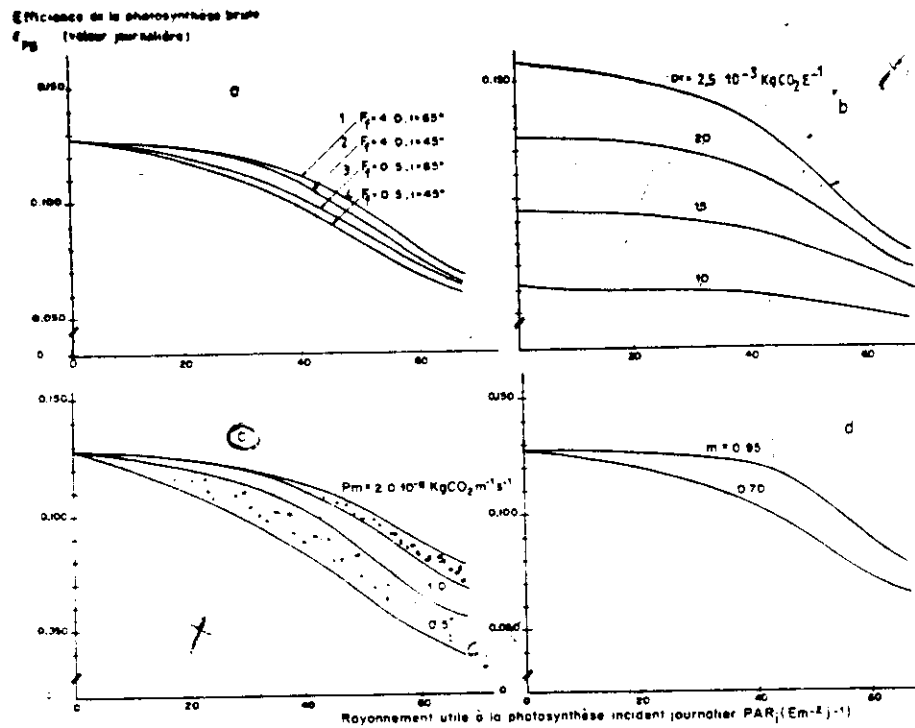


Figure 25 : Efficiency théorique de la photosynthèse brute d'une culture de Canne à sucre EPP; valeurs journalières en fonction du rayonnement journalier utile à la photosynthèse reçu par la culture PAR_j (en Einstein $m^{-2} \cdot j^{-1}$).

a) influence de l'inclinaison des feuilles et de l'indice foliaire de la culture avec :

$$P_m = 1,5 \cdot 10^{-3} \text{ KgCO}_2 \text{m}^{-2} \text{s}^{-1}; m = 2 \cdot 10^{-3} \text{ KgCO}_2 \text{E}^{-1}; m = 0,90$$

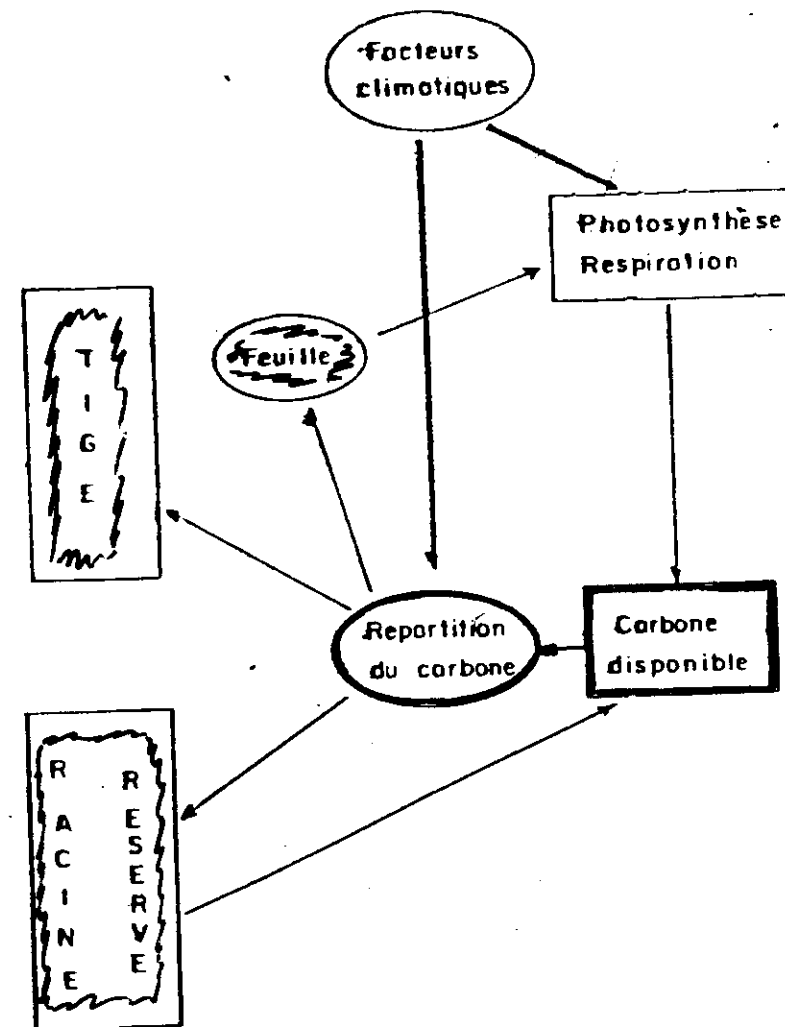
b) influence des caractéristiques photosynthétiques des feuilles avec :

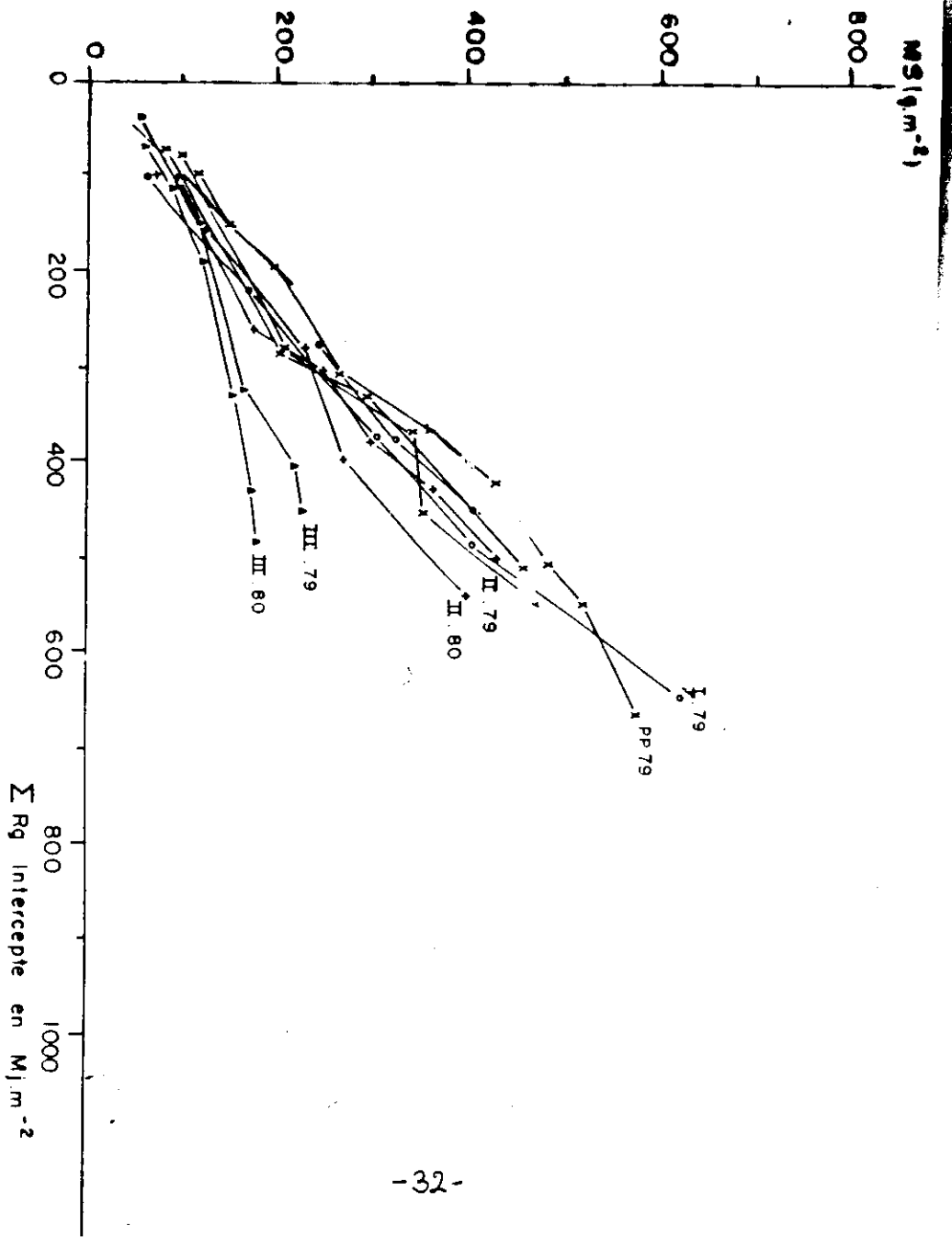
$$P_m = 1,5 \cdot 10^{-3} \text{ KgCO}_2 \text{m}^{-2} \text{s}^{-1}; m = 0,90; F_f = 4,0; i = 65^\circ$$

c) influence des caractéristiques photosynthétiques des feuilles avec :

$$P_m = 2 \cdot 10^{-3} \text{ KgCO}_2 \text{E}^{-1}, m = 0,90; F_f = 4,0; i = 65^\circ$$

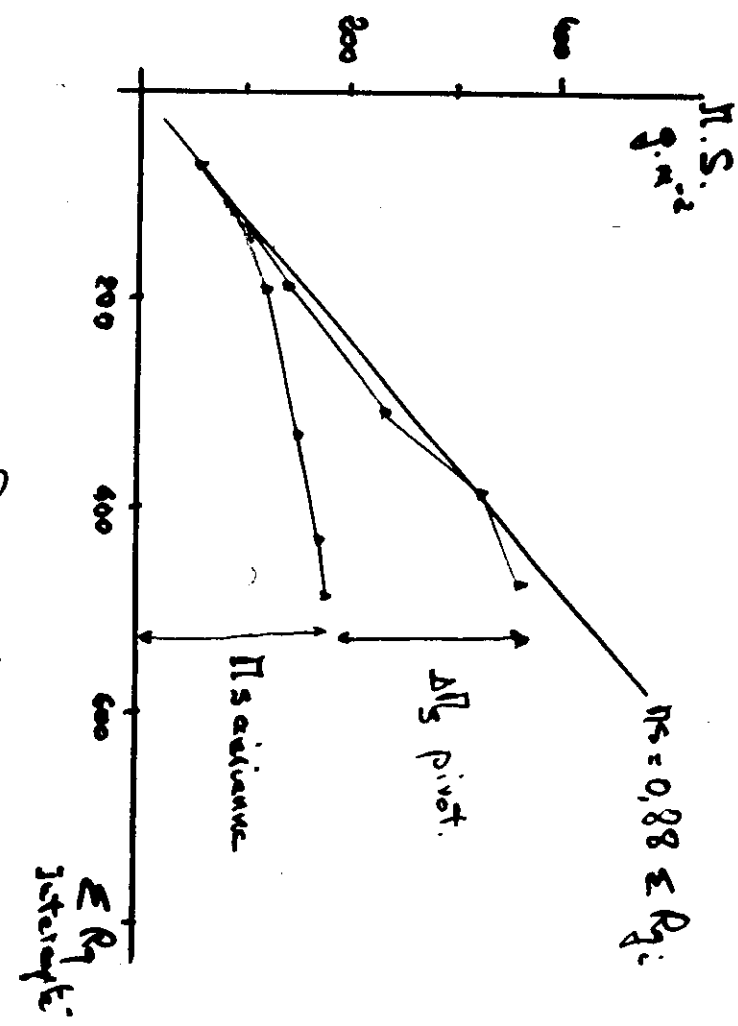
d) influence des caractéristiques photosynthétiques des feuilles avec :

$$P_m = 1,5 \cdot 10^{-3} \text{ KgCO}_2 \text{m}^{-2} \text{s}^{-1}; m = 2,10^{-3} \text{ KgCO}_2 \text{E}^{-1}; F_f = 4,0$$




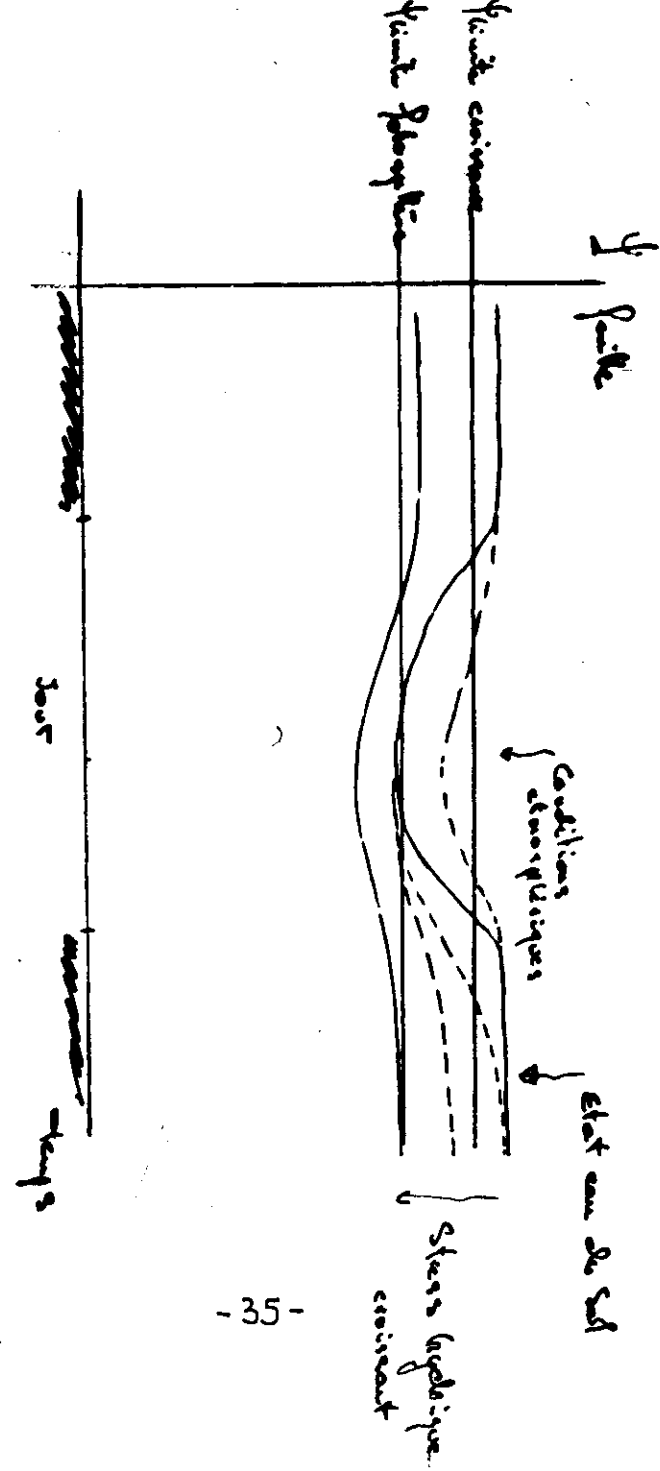
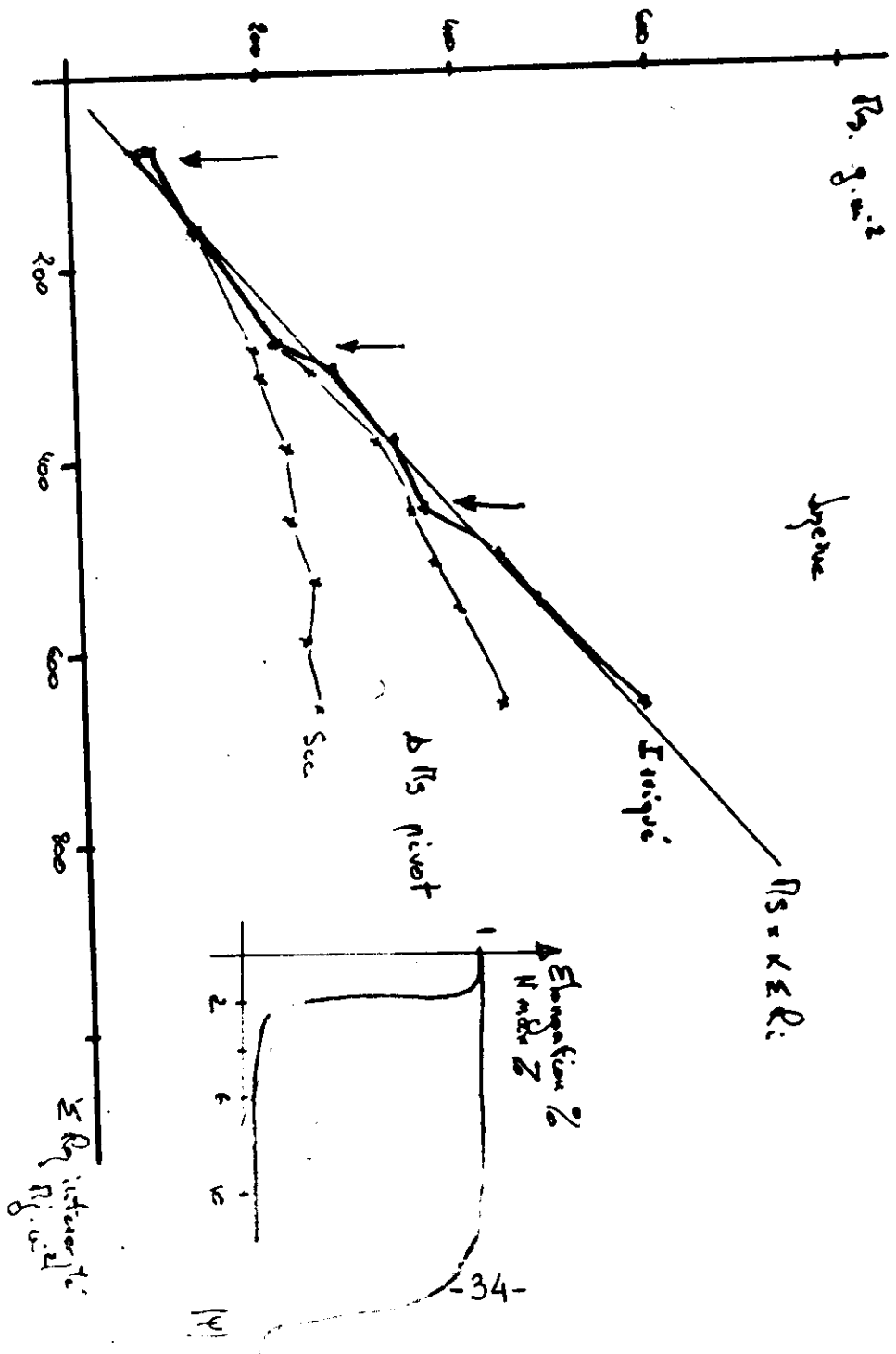
-32-

Lyon - 1980 Perte d'automne.
Action de la photopériode.



- 33 -

$$MS = 0,88 \leq R_g$$



Conclusion:

E. condition de stress

→ action sur la dynamique de la mise en place de la surface foliaire

d. conditions optimales

+ action du stress

ut. Eb

• Σ_p

• E_b et Σ_p

→ Nécessité de considérer "la plante entière"

→ Bascu. d'une modélisation globale

• Cas simple de la production totale de blé maïs

Première étape vers production de grain.

Karstov Index n'est plus suffisant pour la sélection.

